

# Centrale PC 09

IA1)  $\vec{\text{grad}} T$  est dans le sens des  $t^\circ$  croissantes

$$\text{Loi de Fourier: } \vec{j}_Q = -\lambda \vec{\text{grad}} T$$

$$j_a = \frac{S Q}{S dt} \text{ puissance surfacique en W.m}^{-2}$$

$$\lambda \text{ conductivité thermique en Wm}^{-1} K^{-1}$$

Le signe - traduit le sens du courant de chaleur inverse de  $\vec{\text{grad}} T$ : la chaleur va dans le sens des  $t^\circ$

$$\text{IA2) } P = \frac{U_0^2}{R_{ch}} \text{ donc } j_a = \frac{P}{S} = \frac{P}{\pi \left(\frac{d}{2}\right)^2}$$

$$\text{soit } \vec{j}_Q = \frac{4 U_0^2}{\lambda \pi d^2}$$

IA3) En régime "stationnaire" titre du IA

$$\text{on a } j_a(g) S dt - j_a(g+dg) S dt = 0$$

chaleur entrant enz chaleur sortant de g+dg

donc  $j_a$  est uniforme (car  $j_a(g) = j_a(g+dg)$ )

$$\text{Comme } \vec{j}_Q = -\lambda \vec{\text{grad}} T = -\lambda \frac{\partial T}{\partial z} \vec{e}_z = cte$$

$$\text{soit } -\lambda \frac{\partial T}{\partial z} = cte = j_a(g=0) = \frac{4 U_0^2}{\lambda R_{ch} \pi d^2}$$

$$\text{d'où l'éqo. diff: } \frac{\partial T}{\partial z} = -\frac{4 U_0^2}{\lambda R_{ch} \pi d^2}$$

$$\text{IA4) Intégrons } T(z) = -\frac{4 U_0^2}{\lambda R_{ch} \pi d^2} z + cte$$

C.L: en L on a  $T(L) = 20^\circ C$

$$\rightarrow T(z) = -\frac{4 U_0^2}{\lambda R_{ch} \pi d^2} (z-L) + T(L)$$

$$\left\{ \begin{array}{l} T_{p1} = -\frac{4 U_0^2}{\lambda R_{ch} \pi d^2} (z_1-L) + T(L) \\ T_{p2} = -\frac{4 U_0^2}{\lambda R_{ch} \pi d^2} (z_2-L) + T(L) \end{array} \right.$$

$$\text{Soustraire: } \lambda = \frac{4 U_0^2}{R_{ch} \pi d^2} \frac{(z_2-z_1)}{T_{p1}-T_{p2}}$$

$$\text{AN: } \lambda = \frac{4 \times 6}{8 \times \pi \times 15^2 \times 10^{-6}} \cdot \frac{(16-8) 10^{-2}}{(46,4-41,4)}$$

$$\lambda = 407,4 \text{ W.m}^{-1} K^{-1}$$

IA5) Le débit volumique  $d_s$  est le volume circulant par unité de temps; il passe donc la masse  $\rho d_s$  par unité de temps (où  $\rho$  = masse volumique du liquide)

Cette masse d'eau va passer d'une  $t^\circ$  amont à une  $t^\circ$  aval  $\Delta T = T_{aval} - T_{amont} > 0$  en prenant la chaleur diffusée dans la barre à l'absisse  $z=L$ ; ainsi:  $j_a(L) S = \rho d_s c \Delta T$

$$\text{d'où } \Delta T = \frac{j_a \pi d^2}{4 \rho d_s c} \text{ avec } j_a(L) = j_a = \frac{4 U_0^2}{R_{ch} \pi d^2}$$

$$\boxed{\Delta T = \frac{U_0^2}{R_{ch} \rho d_s c}}$$

$\rho$ : masse volumique du liquide de refroidissement  
 $c$ : sa capacité calorifique massique

$$\text{IB1) } \lambda \sim \text{W.m}^{-1} K^{-1} \text{ et le } W = \text{J.s}^{-1}$$

$$\rho \sim \text{kg.m}^{-3}$$

$$c_p \sim \text{J.kg}^{-1} K^{-1}$$

$$\frac{\lambda}{c_p} \sim \text{kg.m}^{-1} \text{s}^{-1} \text{ et } \frac{\lambda}{c_p \rho} \sim \text{m}^2 \text{s}^{-1} \Rightarrow D = \frac{\lambda}{c_p \rho}$$

IB2) Toujours en analyse dimensionnelle:

$$R_{th} = \frac{\Delta T}{\Phi} \text{ donc } \boxed{R_{th} \sim \frac{\Delta T}{\Phi L}} \quad \Phi: \text{puissance}$$

$$SQ = \frac{c_{th}}{L} \Delta T \text{ car } c_{th} \text{ capacité thermique fondamentale}$$

$$\text{done } \boxed{c_{th} \sim \frac{SQ}{L \Delta T}}$$

$$\text{Ainsi } R_{th} c_{th} \sim \frac{SQ}{\Phi L^2} \text{ donc } \frac{SQ}{\Phi} \sim t$$

$$\text{On retrouve alors } D \sim \frac{1}{R_{th} c_{th}} \quad \boxed{D = \frac{1}{R_{th} c_{th}}}$$

IB3)  $D \sim \frac{L^2}{t}$  où  $L$  et  $t$  sont des grandeurs caractéristiques dérivations de grandeurs physiques.

$$\text{d'où } \boxed{\Delta t = \frac{(z_2-z_1)^2}{D}}$$

le régime transitoire durera

$$\Delta t \approx \frac{L^2}{D}$$

$$\text{AN: } \Delta t = \frac{0,5^2}{1,19 \cdot 10^{-4}} = 2100 \text{ s} \approx 35 \text{ minutes}$$

Il peut sembler aisé d'étudier des phénomènes de propagation dans le matériau étudié puisque le temps de régime transitoire est suffisamment long.

$$\text{IB4) } \vec{j}_a(z) \rightarrow \vec{j}_a(z+dz) \quad SQ_{entrant} - SQ_{sortant} = \frac{8 \pi c_{th}}{d} dz \Delta T$$

$$\text{soit } j_a(z) S dt - j_a(z+dz) S dt = \rho S dz c_{th} \frac{\partial T}{\partial z} dt$$

$$-\frac{\partial j_a}{\partial z} dz S dt = \rho S dz c_{th} \frac{\partial T}{\partial z} dt$$

Avec la loi de Fourier  $j_a = -\lambda \frac{\partial T}{\partial z}$  cela mène à:

$$\frac{\lambda \frac{\partial^2 T}{\partial z^2}}{\rho c_{th}} = \frac{\partial T}{\partial z} \quad \text{c'est à dire: } \boxed{\frac{\partial^2 T}{\partial z^2} = D \frac{\partial^2 T}{\partial z^2}}$$

I B5) La diffusion thermique est irréversible car si on change  $t$  en  $-t$  dans l'équation différentielle, on ne retrouve pas la même équation, contrairement aux équations de type d'Alémont  $\frac{\partial^2}{\partial z^2} - \frac{1}{c^2} \frac{\partial^2}{\partial t^2} = 0$  par exemple

I C1) On imagine que l'amplitude de  $\theta_m(z)$  dérôle avec  $j$  ce qui ferait de la courbe supérieure celle qui correspond à  $T(z, t)$   
On lit  $\frac{14}{2}$  graduations pour  $\theta_m(z_1)$

Or 5 graduations correspondent à  $2^\circ\text{C}$

$$\text{Donc } \theta_m(z_1) = \frac{7}{5} \times 2 = \frac{14}{5} = 2,8^\circ\text{C}$$

On lit  $\frac{7}{2}$  graduations pour  $\theta_m(z_2)$ , la moitié de  $\theta_m(z_1)$  donc  $\theta_m(z_2) = 1,4^\circ\text{C}$

Pour le déphasage, la courbe de  $z_2$  est en retard de celle de  $z_1$ . On compte 2 carreaux de décalage, or 5 carreaux correspondent à 100 s.  
Donc 2 carreaux correspondent à  $2 \times \frac{100}{5} = 40\text{s}$

La période est lue sur 20 carreaux donc  $T = 400\text{s}$

La période correspond à  $2\pi$

Le déphasage entre les 2 courbes est  $\frac{400 \times \frac{2\pi}{5}}{400} = 0,1 \times 2\pi$

Avec la convention  $\theta = \theta_m \cos(\omega t + \varphi)$  on a  $\varphi < 0$  pour le retard de 2 sur 1.

$$\varphi = -0,1 \times 2\pi \quad \varphi = -0,62 \text{ rad}$$

I C2) On a toujours  $f(t) = \frac{U(t)}{R_{ch}}$

$$\text{Avec } U(t) = U_0 \sqrt{2} \cos \omega t : f(t) = \frac{U_0^2 \cos^2 \omega t}{R_{ch}}$$

$$\text{Avec } \cos^2 \omega t = \frac{\cos 2\omega t + 1}{2} : f(t) = \frac{U_0^2}{R_{ch}} (1 + \cos 2\omega t)$$

$$\text{Avec } P_0 = \frac{U_0^2}{R_{ch}} \text{ et } \omega = 2\pi f : f(t) = P_0 + P_0 \cos \omega t$$

La température varie en  $\cos(\omega t + \varphi)$  donc avec une fréquence double de la tension

$$\text{On a lu } T = 400\text{s} \text{ donc } \omega = \frac{2\pi}{T} = \frac{\omega}{2} = \frac{\pi}{T} \text{ et la fréquence } F = \frac{\omega}{2\pi} = \frac{1}{2T}$$

$$\text{La fréquence de la tension est } \frac{1}{2 \times 400} = 1,25 \text{ mHz}$$

I C3) Le bilan thermique est identique à IB4):

$$\frac{\partial T}{\partial t} = D \frac{\partial^2 T}{\partial z^2}$$

$$\text{Comme } T = T_p(z) + \theta_m(z) \cos(\omega t + \varphi(z)) = T_p(z) + \theta(z)$$

$T_p(z)$  représente la solution du régime permanent

Le régime permanent a été étudié en IA et a conduit à une température linéaire en  $z$ ; ainsi  $\frac{\partial^2 T_p}{\partial z^2} = 0$ ; de plus  $T_p$  ne dépend pas de  $t$ .

$$\text{Du coup on a bien encore : } \frac{\partial \theta}{\partial t} = D \frac{\partial^2 \theta}{\partial z^2}$$

Posons  $\underline{\theta} = A \exp(j(\omega t - Kz))$  alors (avec  $A$  constant)

$$j\omega = -DK^2 \text{ soit } K^2 = -j \frac{\omega}{D}$$

La "racine carrée" de  $-j$  est  $\frac{1-j}{\sqrt{2}}$

$$K = \pm \sqrt{\frac{\omega}{2D}} (1-j) \stackrel{v}{=} \pm \frac{1-j}{\sqrt{2}} \text{ avec } \delta = \sqrt{\frac{2D}{\omega}}$$

$$\text{Remplaçons } D = \frac{\lambda}{c_p} \frac{c_p}{\rho} \rightarrow S = \frac{2\lambda}{\rho c_p w}$$

$$\text{Rappelons } D = \frac{1}{\rho \kappa h c_{th}} \rightarrow S = \frac{2}{\kappa c_{th} w}$$

I C4) Alors  $\underline{\theta} = A \exp\left(j(\omega t - \frac{1-j}{\sqrt{2}} z)\right)$

$$\text{cad } \theta = A \exp\left(-\frac{\xi}{\sqrt{2}} z\right) \exp\left(j(\omega t - \frac{\xi}{\sqrt{2}} z)\right)$$

La barre étant semi-infinie :  $z \rightarrow +\infty$   
On ne peut s'attendre à une température croissant énigmatiquement donc  $\xi > 0$  cad  $\xi = 1$

$$\text{Alors } \underline{\theta} = A \exp\left(-\frac{z}{\sqrt{2}}\right) \exp\left(j(\omega t - \frac{z}{\sqrt{2}})\right)$$

$$\text{soit } \theta = A e^{-\frac{z}{\sqrt{2}}} \cos\left(\omega t - \frac{z}{\sqrt{2}}\right) \quad \left\{ \begin{array}{l} \theta_m(z) = A e^{-\frac{z}{\sqrt{2}}} \\ \varphi(z) = -\frac{z}{\sqrt{2}} \end{array} \right.$$

$$\text{On } \theta \stackrel{v}{=} \theta_m(z) \cos(\omega t + \varphi(z)) \quad \left\{ \begin{array}{l} \theta_m(z) = A e^{-\frac{z}{\sqrt{2}}} \\ \varphi(z) = -\frac{z}{\sqrt{2}} \end{array} \right.$$

$$\text{Calculons } \delta = \sqrt{\frac{2D}{\omega}} = \sqrt{\frac{2 \times 1,15 \times 10^{-4}}{\frac{2\pi}{400}}} \leftarrow \text{donné en IB2}$$

$$\delta = 0,12 \text{ m} = 12 \text{ cm}$$

50 cm représente 4 fois la longueur caractéristique  
L'approximation de barre infinie est possible mais pas largement évidente.

I C5) On observe l'amortissement de l'amplitude entre  $z_1$  et  $z_2$ . On lit 7 carreaux d'amplitude pour  $z_1$  qui passe à 3,5 pour  $z_2$   
Donc  $\frac{3,5}{7} = \exp^{-\frac{(z_2-z_1)}{\sqrt{2}}}$  soit

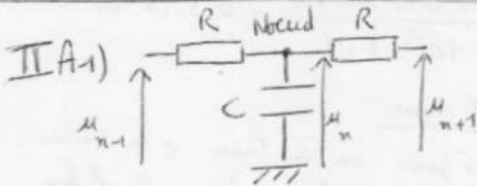
$$\delta = \frac{z_2 - z_1}{\ln \frac{7}{3,5}}$$

$$\text{AN } \delta = \frac{(16-8)0,01}{\ln \frac{7}{3,5}} = 11,5 \text{ cm} \leftarrow \text{environ au 12 cm calculé précédemment}$$

2<sup>e</sup> façon de déduire  $\delta$ : on a vu que le déphasage variait comme  $-\frac{z}{\delta}$  donc  $\varphi(z_2) - \varphi(z_1) = -\frac{z_2 - z_1}{\delta}$

Or ce déphasage a été calculé en IC1 :  $\varphi = -0,62 \text{ rad}$   
d'où  $\delta = \frac{z_2 - z_1}{0,01(16-8)} = \frac{12,9 \text{ cm}}{0,62} = 20,9 \text{ cm}$  valeur avec les résultats précédents

Ic6) Il s'agit d'une onde progressive car en  $\cos(\omega t - \frac{z}{\sqrt{\frac{L}{R}}})$ , plane car d'amplitude constante dans un plan  $z = \text{cte}$



$$\text{Loi des noeuds : } \frac{u_{n-1} - u_n}{R} = C \ddot{u}_n + \frac{u_n - u_{n+1}}{R}$$

En régime permanent, avec la notation complexe :  $u_n = U_n e^{j\omega t}$   
d'où  $(u_{n-1} - u_n) = jRCw u_n + (u_n - u_{n+1})$

$$\text{IIA2) Solution proposée : } \underline{u}_n = \underline{k}^n \underline{u}_0 \Rightarrow$$

$$\underline{k}^{n-1} - \underline{k}^n = jRCw \underline{k}^n + \underline{k}^n - \underline{k}^{n+1}$$

$$\text{Divisons par } \underline{k}^{n-1} : 1 - \underline{k} = jRCw \underline{k} + 1 - \underline{k}^2$$

$$\text{soit } \underline{k}^2 - (2 + jRCw) \underline{k} + 1 = 0$$

$$\text{IIA3) } \Delta = (2 + jRCw)^2 - 4 \approx 4jRCw \text{ en négligeant } RCw^2$$

$$\text{Solutions : } \underline{k} \approx \frac{1}{2} \left( 2 + jRCw \pm 2\sqrt{RCw} \right)$$

$$\text{Avec } j^{\frac{1}{2}} = \frac{1+j}{\sqrt{2}} \rightarrow \underline{k} = 1 + \frac{1}{2} jRCw \pm \sqrt{\frac{RCw}{2}} (1+j)$$

En négligeant  $RCw$  par rapport à  $\sqrt{RCw}$  on a bien :

$$\underline{k} = 1 \pm (1+j) \sqrt{\frac{RCw}{2}} \quad \text{OK}$$

IIA4) Le caractère complexe de  $\underline{k}$  signale un déphasage que prend la tension d'une cellule à l'autre.

$$\text{Module : } |\underline{k}| = \left| 1 \pm \sqrt{\frac{RCw}{2}} \right|$$

$$|\underline{k}| = \sqrt{\left( 1 \pm \sqrt{\frac{RCw}{2}} \right)^2 + \frac{RCw}{2}} = \sqrt{1 \pm \sqrt{2}RCw + RCw}$$

$$\text{d.l. } |\underline{k}| \approx 1 \pm \frac{1}{2} \sqrt{2}RCw \approx 1 \pm \frac{RCw}{2} \text{ au } 2^{\text{ème}} \text{ ordre près en } \sqrt{RCw}$$

Si on considère la chaîne inférieure on ne peut pas s'attendre à une tension dont le module croît infiniment. Il faut donc  $|\underline{k}| < 1$  donc

$$|\underline{k}| \approx 1 - \frac{RCw}{2}$$

$$\text{IIB1) Ainsi } |u_n| = |\underline{k}^n| |u_0|$$

$$\text{soit en amplitude } U_n = |\underline{k}|^n U_0 \approx \left( 1 - \frac{RCw}{2} \right)^n U_0$$

$$\text{d.l. } U_n \approx \left( 1 - n \frac{RCw}{2} \right) U_0$$

$$\text{On a } \exp\left(-\frac{n}{\frac{2}{RCw}}\right) \approx 1 - \frac{n}{\frac{2}{RCw}} \approx 1 - n \frac{RCw}{2}$$

$$\text{Si } \frac{2}{RCw} \gg n \text{ alors } \frac{U_n}{U_0} = \exp\left(-\frac{n}{\frac{2}{RCw}}\right) \text{ avec } n = \sqrt{\frac{2}{RCw}}$$

$$\text{IIB2) La condition pour écrire } \exp\left(-\frac{n}{\frac{2}{RCw}}\right) \approx 1 - \frac{n}{\frac{2}{RCw}}$$

$$\text{est que } \frac{2}{RCw} \gg n \text{ soit } RCw \ll \frac{2}{n}$$

Pour considérer la chaîne comme inférieure, il faut que n dépasse 10 car alors on a bien  $RCw \ll 1$

IIIC1) Admettant  $n_{\text{enf}} = A f^s$  on aura alors  $\ln n_{\text{enf}} = \ln A + s \ln f$  le graphique de  $\ln n_{\text{enf}}$  en fonction de  $\ln f$  doit donc être une droite

f	200	350	500	650
$n_{\text{enf}}$	4,0	3,0	2,5	2,2
$\ln f$	5,30	5,86	6,21	6,48
$\ln n_{\text{enf}}$	1,38	1,10	0,92	0,79

La pente est  $s = -0,58 \approx -\frac{1}{2}$   
ce qui ferait

$n_{\text{enf}} = \frac{A}{\sqrt{f}} = \frac{A'}{\sqrt{w}}$   
on a bien tracé en IIIB1 que  $n_0$  varie comme  $\frac{1}{\sqrt{w}}$ . C'est cohérent.

IIIC2) On déduit du tracé l'ordonnée à l'origine. (Soit avec un tracé plus précis soit par calculatrice en régression linéaire)  
on trouve par tracé plus précis : cf annexe  
 $\ln A = 8,1$

$$\text{Comme en théorie } n_0 = \sqrt{\frac{2}{RCw}} = \sqrt{\frac{1}{R\pi f}}$$

$$\text{On a } C \cdot A = \sqrt{\frac{1}{R\pi f}} \text{ d'où } C = \frac{1}{R\pi f A^2}$$

$$\text{AN : } C = \frac{1}{10^3 \pi \times 8,1^2} = 29 \text{ pF}$$

IID1) Reprenons la loi des noeuds en régime quelconque

$$\frac{u_{n-1} - u_n}{R} = C \ddot{u}_n + \frac{u_n - u_{n+1}}{R}$$

$$\text{avec } u_n = u(x, t)$$

$$u_{n+1} = u(x+a) = u(x) + a \frac{\partial u}{\partial x} + \frac{a^2}{2} \frac{\partial^2 u}{\partial x^2}$$

$$u_{n-1} = u(x-a) = u(x) - a \frac{\partial u}{\partial x} + \frac{a^2}{2} \frac{\partial^2 u}{\partial x^2}$$

$$\text{d'où } \left( -\frac{\alpha \frac{\partial u}{\partial x}}{2} + \frac{\alpha^2}{2} \frac{\partial^2 u}{\partial x^2} \right) = RC \frac{\partial u}{\partial t} + \left( -\frac{\alpha \partial u}{\partial x} - \frac{\alpha^2 \partial^2 u}{2 \partial x^2} \right)$$

$$\text{soit } \frac{\partial u}{\partial t} = \frac{\alpha^2 \partial^2 u}{2 \partial x^2}$$

$$RC = \frac{RC}{\alpha^2}$$

$rc$  est homogène à un temps dû au longueur<sup>2</sup>  
 $rc \sim t \cdot L^{-2}$  en s.m<sup>-2</sup>

II D2) On peut utiliser IB4 avec  $\frac{\partial T}{\partial t} = D \frac{\partial^2 T}{\partial z^2}$

$$\text{et } D = \frac{1}{\tau_{dh}}$$

$$\text{à } \frac{\partial u}{\partial t} = \frac{1}{rc} \frac{\partial^2 u}{\partial x^2} \text{ d'où } \begin{array}{l} T \leftrightarrow u \\ \tau_{dh} \leftrightarrow r \\ c_p \leftrightarrow C \end{array}$$

On avait en IC3  $\theta$  variant en  $e^{-\frac{x}{\delta}}$   
 Ici en II D1  $U$  varie en  $e^{-\frac{x}{\delta}} = e^{-\frac{x}{\alpha n_0}}$

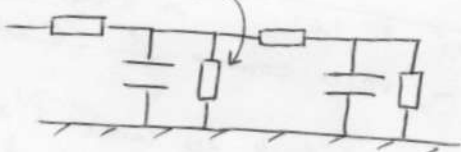
$$\delta = \sqrt{\frac{U_0}{c_p \rho_w}} \text{ est relié à } \alpha n_0 = \sqrt{\frac{2 \alpha^2}{R C w}} = \sqrt{\frac{2}{\alpha n w}}$$

$$\frac{u_{n+1} - u_n}{R} = i \text{ est relié à } \phi = \frac{\Delta T}{R_{dh}}$$

$\lambda$  est relié à  $\sigma$  conductivité électrique

T	$T(x, t) - T_0$	$\frac{\partial T}{\partial t}$	$\tau_{dh}$	$\rho_c$	$R_{dh}$	$\delta$
Electron	$u(x, t) - U_0$	$\frac{u_{n+1} - u_n}{R}$	$rc$	$\frac{rc}{\sigma}$	R	$\sqrt{\frac{2}{\alpha n w}}$

II D3) Il faudrait un courant de fuite rendu possible par une résistance de fuite en parallèle avec C



B1) On a vu en IC3 l'épaisseur de peau

$$\delta = \sqrt{\frac{2 \lambda}{c_p \rho_w}}$$

si que la température n'évolue pas trop, il faut que  $e \ll \delta$

énoncé donne C capacité thermique  
 était la capacité thermique massique  
 la masse volumique

$\rho_c$  est la capacité thermique volumique  
 a donc  $C_T = \rho_c \cdot S_e$  volume du film cristallin

L'émission donne la fréquence de 1 Hz  
 $\omega = 2\pi f$

$$\text{Ainsi } e \ll \sqrt{\frac{2 \lambda S_e}{C_T 2\pi f}}$$

$$e \ll \sqrt{\frac{1.5 \times 10^{-6}}{C_T \pi f}}$$

$$\text{AN: } e \ll \sqrt{\frac{100 \times 4 \times 10^{-6} \times 25 \times 10^{-6}}{3.1 \times 10^{-4} \times \pi \times 1}} = 0.3 \cdot 10^{-3} \text{ m}$$

surt  $e \ll 3 \text{ mm}$

Comme  $e = 25 \mu\text{m}$  on a bien  $e \ll 3 \text{ mm}$   
 l'hypothèse de  $T$  uniforme dans le film est bien validée.

$$\text{III B2) } R_{dh} = \frac{T(t) - T_0}{\phi} \text{ car } R \sim K \cdot W^{-1} \quad \phi \sim W \text{ et } T \sim K$$

III B3) Si la  $t^\circ$  est uniforme c'est que la densité de courant thermique est nulle...

$$\text{puisque } \frac{d\phi}{dt} = -\lambda \text{ grad } T$$

c'est un simple bilan calorimétrique : la puissance lumineuse absorbée va servir à augmenter la  $t^\circ$  du film mais en même temps il y a perte par le conducteur thermique placé entre le film et le support.

$$\text{Soit } \frac{d\phi}{dt} = \frac{T(t) - T_0}{R_{dh}} dt = C_T \frac{dT}{dt}$$

$$\text{d'où } \frac{dT}{dt} + \frac{T - T_0}{R_T C_T} = \frac{\phi}{C_T} = \frac{\phi_a}{C_T} + \frac{\phi_m \cos w t}{C_T}$$

$$\text{III B4) Si } \phi_p = \phi_0 \text{ alors } \frac{dT}{dt} = 0 \text{ puisque } T = T_0$$

$$\text{Ainsi } \frac{T_0 - T_1}{R_T C_T} = \frac{\phi_0}{C_T} \rightarrow T_0 = T_1 + R \frac{\phi_0}{C_T}$$

$$\text{III B5) } \theta \equiv T(t) - T_0 \text{ Posons } \theta = \underline{\Phi}_m e^{j\omega t}$$

$$\text{avec } \underline{\Phi}_a = \underline{\Phi}_m e^{j\omega t} \text{ soit } \underline{\Phi}_0 = 0 \text{ (composante continue)}$$

$$\frac{d(T - T_0)}{dt} + \frac{T - T_0}{R_T C_T} = \frac{\underline{\Phi}_m \cos w t}{C_T}$$

$$\text{En complexe : } j\omega \underline{\theta} + \frac{\underline{\theta}}{R_T} = \frac{\underline{\Phi}_a}{C_T}$$

$$\text{soit } \underline{\theta} = \underline{\Phi}_a \cdot \frac{1}{C_T (j\omega + \frac{1}{R_T})} = \frac{\underline{\Phi}_a}{(\frac{1}{R_T} + j\omega C_T)}$$

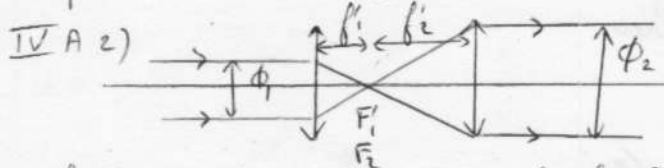
ainsi on a bien

$$\underline{\theta} = \frac{\underline{\Phi}_a R_T}{j\omega C_T + 1} \quad (\text{OK})$$

$$\text{III B6) Amplitude de } |\underline{\theta}| = \frac{\underline{\Phi}_m R_T}{\sqrt{1 + (\omega C_T)^2}}$$

$$\text{AN: } |\underline{\theta}| = \frac{10^{-6} \times 512}{\sqrt{1 + (2\pi \times 1 \times 512 \times 3.1 \cdot 10^{-4})^2}} = 0.36 \text{ mK}$$

IV A 1) On noircit la face avant du film au fil du temps que le rayonnement lumineux soit absorbé par la matière ce qui provoque son échauffement. Sinon on aurait surtout réflexion sans échauffement de l'alu.



Il faut réaliser un système afocal :  $F'_1 = F'_2$  avec  $\frac{\Phi_2}{\Phi_1} = \frac{f'_2}{f'_1}$  en respectant  $f'_1 + f'_2 = 12 \text{ cm}$  soit  $\frac{f'_2}{f'_1} = \frac{25}{5} = 5$  et  $f'_1 + f'_2 = 12$   
d'où  $f'_1 = 2 \text{ cm}$  et  $f'_2 = 10 \text{ cm}$

IV B 1) Il y a continuité de la température à l'interface donc  $\Theta_i(z=0) + \Theta_n(z=0) = \Theta_t(z=0)$

IV B 2) Il y a continuité du flux thermique à l'interface :  $j_i(z=0) + j_n(z=0) = j_t(z=0)$

$$\text{soit } \lambda_1 \left( \frac{\partial \Theta_i}{\partial z}(z=0) + \frac{\partial \Theta_n}{\partial z}(z=0) \right) = \lambda_2 \frac{\partial \Theta_t}{\partial z}(z=0)$$

IV B 3) La propagation de l'onde incidente et de l'onde transmise est dans le sens  $\vec{y} \uparrow$   
donc  $\cos(\omega t - \frac{z}{\delta})$

Par contre elle fait dans le sens  $\vec{y} \downarrow$  pour l'onde réfléchie donc  $\cos(\omega t + \frac{z}{\delta})$

On retrouve  $\delta_1$  pour l'onde incidente et réfléchie qui se propagent dans le même milieu 1.  
Par contre on a  $\delta_2$  pour l'onde transmise qui se propage dans un milieu différent.  
L'onde s'atténue au fur et à mesure de sa propagation donc  $\exp(-\frac{z}{\delta})$  pour l'onde incidente et transmise qui vont vers  $z \uparrow$  et  $\exp(+\frac{z}{\delta})$  pour l'onde réfléchie qui va vers  $z \downarrow$

IV B 4) les ondes sont planes et progressives  
pendant de x et y). La notation complexe est adaptée.

$$\text{IV B 5) Reprenons IV B 1) } \underline{A_i} + \underline{A_n} = \underline{A_t}$$

$$\text{et IV B 2) } \lambda_1 j \underline{k}_1 (\underline{A_i} - \underline{A_n}) = \lambda_2 \underline{A_t} j \underline{k}_2$$

La comparaison des notations réelle et complexe mène à :  $\underline{k}_1 = \frac{1}{\delta_1} (1-j)$     $\underline{k}_2 = \frac{1}{\delta_2} (1-j)$

$$\text{d'où } \lambda_1 \delta_2 (\underline{A_i} - \underline{A_n}) = \lambda_2 \delta_1 \underline{A_t}$$

IV B 6) La résolution mène à :

$$n = \frac{\lambda_1 \delta_2 - \lambda_2 \delta_1}{\lambda_1 \delta_2 + \lambda_2 \delta_1}$$

$$t = \frac{2 \lambda_1 \delta_2}{\lambda_1 \delta_2 + \lambda_2 \delta_1}$$

Avec  $\delta = \sqrt{\frac{2t}{\rho c w}}$  on obtient :  $\frac{\delta}{\lambda} = \sqrt{\frac{c}{\lambda \rho c w}} = \frac{1}{e \sqrt{\omega}}$

$$n = \frac{\frac{\lambda_1}{\delta_1} - \frac{\lambda_2}{\delta_2}}{\frac{\lambda_1}{\delta_1} + \frac{\lambda_2}{\delta_2}} = \frac{e_1 - e_2}{e_1 + e_2}$$

$$t = \frac{2 \frac{\lambda_1}{\delta_1}}{\frac{\lambda_1}{\delta_1} + \frac{\lambda_2}{\delta_2}} = \frac{2 e_1}{e_1 + e_2}$$

$$n = \frac{e_1 - e_2}{e_1 + e_2}$$

$$t = \frac{2 e_1}{e_1 + e_2}$$

IV B 7)  $e_1 \ll e_2$  :  $n \approx -1$     $t = 0$   
 $e_1 \gg e_2$  :  $n \approx 1$     $t = 2$

Une très grande effusivité du milieu 2 donne une amplitude nulle pour les variations de température dans le milieu 2 comme si il n'y avait pas le temps d'établir un lien thermique. Une très faible effusivité du milieu 2 donne l'effet contraire, le lien thermique s'établit bien.

Fin de la question III B 6. :

Le déphasage est donné par

$$\tan \varphi = -\frac{w}{T}$$

$$\tan \varphi = -2\pi \cdot 1 \cdot 0,16 = -1$$

Avec  $\cos \varphi > 0$  et  $\sin \varphi < 0$  cela correspond à  $\varphi = -45^\circ$